



## **Entwicklung eines interaktiven Editors für Flugzeugkonfigurationen im Vorentwurf**

Abschlussarbeit zur Erlangung des akademischen Grades

**Master of Science (M.Sc.)**

vorgelegt von

René Frank

Betreuer: Prof. Dr. Thorsten Thormählen

Betreuer: Dipl.-Ing. Carsten Liersch

Ausgabedatum: XX.XX.2014

Abgabedatum: XX.XX.2015

Philipps-Universität Marburg  
Fachbereich Mathematik und Informatik  
Hans-Meerwein-Straße  
35032 Marburg



# Erklärung

Ich erkläre hiermit, dass ich diese Masterarbeit mit dem Titel *Entwicklung eines interaktiven Editors für Flugzeugkonfigurationen im Vorentwurf* selbstständig ohne Hilfe Dritter und ohne Benutzung anderer als der angegebenen Quellen und Hilfsmittel verfasst habe. Alle den benutzten Quellen wörtlich oder sinngemäß entnommenen Stellen sind als solche einzeln kenntlich gemacht.

Diese Arbeit ist bislang keiner anderen Prüfungsbehörde vorgelegt und auch nicht veröffentlicht worden.

Ich bin mir bewusst, dass eine falsche Erklärung rechtliche Folgen haben wird.

Marburg den 28. September 2014

---

René Frank

### **Zusammenfassung**

Viele der in der Computergrafik verwendeten 3D-Modelle werden mit Hilfe der Dreiecksnetze repräsentiert. ... (max. 1 Seite)

## Abstract

text text text text text text text text text text text text text text text text  
text (exakte englische Übersetzung der deutschen Kurzfassung)



# Inhaltsverzeichnis

<b>Inhaltsverzeichnis</b>	<b>I</b>
<b>1. Einleitung</b>	<b>1</b>
1.1. Motivation . . . . .	1
1.2. Ziele . . . . .	1
1.3. Aufbau der Arbeit . . . . .	2
1.4. Verwandte Arbeiten . . . . .	2
<b>2. Grundlagen</b>	<b>4</b>
2.1. Grundlage 1 . . . . .	4
2.1.1. subsection . . . . .	4
2.2. CPACS . . . . .	4
2.3. Airfoils . . . . .	4
2.4. Flugzeug . . . . .	6
<b>3. Eigenes Verfahren</b>	<b>7</b>
3.1. LaTeX-Editoren . . . . .	7
3.2. Beispiel für eine Tabelle . . . . .	7
3.3. Formel in Latex und Konventionen zur Verwendung mathematischer Symbole	7
3.4. Beispiel für eine Vektorgrafik . . . . .	8
3.5. Beispiel für eine Vektorgrafik mit mathematischen Symbolen . . . . .	9
3.6. Beispiel für eine Rastergrafik . . . . .	9
3.7. Beispiel für die Darstellung von Algorithmen . . . . .	10
3.8. Beispiel für die Darstellung von Quellcode-Auszügen . . . . .	10
<b>4. Ergebnisse und Evaluation</b>	<b>11</b>
<b>5. Zusammenfassung und Ausblick</b>	<b>12</b>
<b>Literaturverzeichnis</b>	<b>I</b>
<b>Abkürzungsverzeichnis</b>	<b>V</b>
<b>Abbildungsverzeichnis</b>	<b>VII</b>
<b>Tabellenverzeichnis</b>	<b>VIII</b>
<b>Liste der Algorithmen</b>	<b>X</b>

<b>Listings</b>	<b>XII</b>
<b>A. Anhang</b>	<b>XIV</b>
<b>Danksagung</b>	<b>XV</b>



# 1

## Kapitel 1.

---

# Einleitung

Diese Diplomarbeit beschäftigt sich mit den Parallel View-Dependent Compressed Progressive Meshes und deren Umsetzung in die vom Grafikkartenhersteller NVIDIA entwickelte parallele Programmiersprache CUDA. Dazu gehört die Entwicklung einer für die parallele Verarbeitung geeignete effiziente Datenstruktur, sowie eine effiziente Datenverwaltung.

### 1.1. Motivation

Die aktuelle Entwicklung der Multimediaindustrie versucht zunehmend die Simulation von virtuellen Welten realistisch darzustellen. Die Ansprüche der Anwender werden mit der Zeit immer größer und dementsprechend die generierte virtuelle Realität immer komplexer. So eine Entwicklung ist unweigerlich mit der Steigerung der erforderlichen Rechenleistung verbunden, da die simulierten Objekte aus Millionen von Polygonen bestehen können und in Echtzeit dargestellt werden müssen. Im Laufe der Jahre sind viele verschiedene Verfahren entwickelt worden, die das Ziel hatten, die komplexen Objekte mit einem vertretbaren Qualitätsverlust in Echtzeit darzustellen. Der mit Abstand beste Ansatz, um den Kompromiss zwischen Qualität und Geschwindigkeit zu finden, ist die View-Dependent Progressive Meshes. Einer der Vorteile dieser Herangehensweise ist, dass dieses Verfahren hochgradig parallelisierbar ist, so dass sich mit einer geeigneter Programmiersprache und Hardware eine beachtliche Effizienzsteigerung erzielen lässt. Die von NVIDIA entwickelte parallele Programmiersprache CUDA setzt auf den aktuellen Trend der GPGPUs und ermöglicht es mit einer kostengünstigen Grafikkarte, die in fast jeden Desktoprechner vorhanden ist, Programme effizient zu parallelisieren. Aus diesem Grund ist CUDA für das Parallelisieren von View-Dependent Progressive Meshing besonders geeignet.

### 1.2. Ziele

Das Ziel dieser Arbeit ist die Entwicklung einer effizienten parallelen Implementierung von komprimierten View-Dependent Progressive Meshes in CUDA, welche in der Lage ist, Objekte die aus mehreren Millionen von Polygonen bestehen können, in Echtzeit zu verarbeiten.

#### **Echtzeit**

Das entwickelte Programm soll selbst sehr große Polygonnetze effizient verarbeiten können. Die Eingaben des Benutzers für die Translation und Rotation des Objekts sollen

in Echtzeit umgesetzt werden. Die durchschnittliche Laufzeit des Programms pro Frame soll höchstens drei Mal soviel Zeit wie das Rendering des gegebenen Modells benötigen, um eine Echtzeitdarstellung des Modells zu ermöglichen. Dabei können die Modelle aus mehreren Millionen von Dreiecken bestehen.

### Kosten

Das Programm sollte mit der normalen, kostengünstigen Privatanwender-Hardware laufen, sodass für die Ausführung keine Spezialrechner benötigt werden. Die einzige Voraussetzung an das System ist eine NVIDIA-Grafikkarte die CUDA 1.1 unterstützt. Diese ist aber in den meisten Desktoprechnern vorhanden oder kann kostengünstig nachgerüstet werden.

## 1.3. Aufbau der Arbeit

Im ersten Abschnitt des Kapitels ?? soll zunächst die Bedeutung der Grafikkarte als Berechnungseinheit verdeutlicht werden. Dann soll im zweiten Abschnitt die Hard- und Softwarearchitektur der Programmiersprache CUDA beschrieben werden, sowie einige Vorschläge zu Codeoptimierung diskutiert, bevor im Kapitel ?? ein Überblick über die wichtigsten Verfahren zur Echtzeitdarstellung komplexer Objekte geben wird. An dieser Stelle werden auch das View-Dependent Progressive Meshing, sowie einige Simplifizierungstechniken genauer erläutern. Kapitel ?? beschäftigt sich mit der Theorie des im Rahmen dieser Diplomarbeit entwickelten Algorithmus. Dabei sollen die Datenstrukturen, die Kompression, sowie die einzelnen Schritte des Algorithmus genauer erläutert werden. Die Implementierung des Algorithmus in CUDA wird im Kapitel 5 besprochen, dabei sollen die benutzten Bibliotheken, sowie die CUDA-spezifische Umsetzung des Programms beschrieben werden. Anschließend werden im Kapitel 6 die durchgeführten Tests und deren Ergebnisse dokumentiert und diskutiert, sowie im Kapitel 7 ein Ausblick auf weiterführende Arbeiten gegeben.

## 1.4. Verwandte Arbeiten

Im Themenbereich der Progressive Meshes und View-Dependent Progressive Meshes gab es schon am Ende des letzten Jahrzehnts einige Veröffentlichungen [Hop96,Hop97]. Diese waren zwar eine gute und notwendige Weiterentwicklung vom klassischen LOD-Algorithmus, ermöglichten aber nicht eine effiziente Echtzeitdarstellung von großen Modellen. In [Hop98] wurde schließlich ein Versuch unternommen eine effizientere Datenstruktur zu entwickeln, um den Speicherverbrauch zu optimieren und bessere Geschwindigkeit zu erreichen. Diese effizientere Datenstruktur brachte zwar einige Verbesserungen, ermöglichte aber dennoch keine Echtzeitdarstellung von großen Modellen. Seit dem gab es eine Reihe von Verfahren, die das Ziel hatten eine effiziente Echtzeitdarstellung von großen Modellen zu ermöglichen. Einige von diesen Verfahren nutzten Multi-Triangulationen [DFMP98], andere Versuchten die View-Dependent Progressive Meshes weiterzuentwickeln [Paj01,PD04,ESV99]. Doch

keins dieser Verfahren konnte die Anforderungen vollständig erfüllen.

Eine erst kürzlich veröffentlichte Arbeit [HSH09] machte endlich einen Schritt in die richtige Richtung. Die in dieser Arbeit implementierte GPU-Variante von parallelen View-Dependent Progressive Meshes ermöglichte eine akzeptable Echtzeitdarstellung von großen Modellen. Diese braucht durchschnittlich das dreifache der Zeit, die für das Rendering des Modells benötigen wird und lässt somit einen großen Spielraum für die Optimierung offen.

# Kapitel 2.

# 2 Grundlagen

---

In diesem Kapitel werden die Grundlagen beschrieben

## 2.1. Grundlage 1

### 2.1.1. subsection

text

## 2.2. CPACS

## 2.3. Airfoils

Wie schon in Kapitel 2.1 beschrieben ...

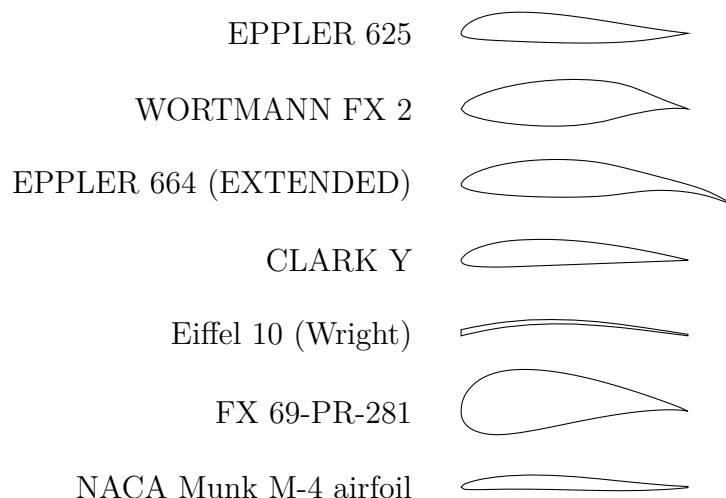


Abbildung 2.1.: Tragflächenprofile<sup>1</sup>

Lorem ipsum dolor sit amet, consectetur adipiscing elit. Etiam lobortis facilisis sem. Nullam nec mi et neque pharetra sollicitudin. Praesent imperdiet mi nec ante. Donec ullamcorper, felis non sodales commodo, lectus velit ultrices augue, a dignissim nibh lectus placerat pede. Vivamus nunc nunc, molestie ut, ultricies vel, semper in, velit. Ut

---

<sup>1</sup>Quelle: <http://www.texample.net/tikz/examples/airfoil-profiles>, Zugriff: 27.10.2014

porttitor. Praesent in sapien. Lorem ipsum dolor sit amet, consectetur adipiscing elit. Duis fringilla tristique neque. Sed interdum libero ut metus. Pellentesque placerat. Nam rutrum augue a leo. Morbi sed elit sit amet ante lobortis sollicitudin. Praesent blandit blandit mauris. Praesent lectus tellus, aliquet aliquam, luctus a, egestas a, turpis. Mauris lacinia lorem sit amet ipsum. Nunc quis urna dictum turpis accumsan semper.

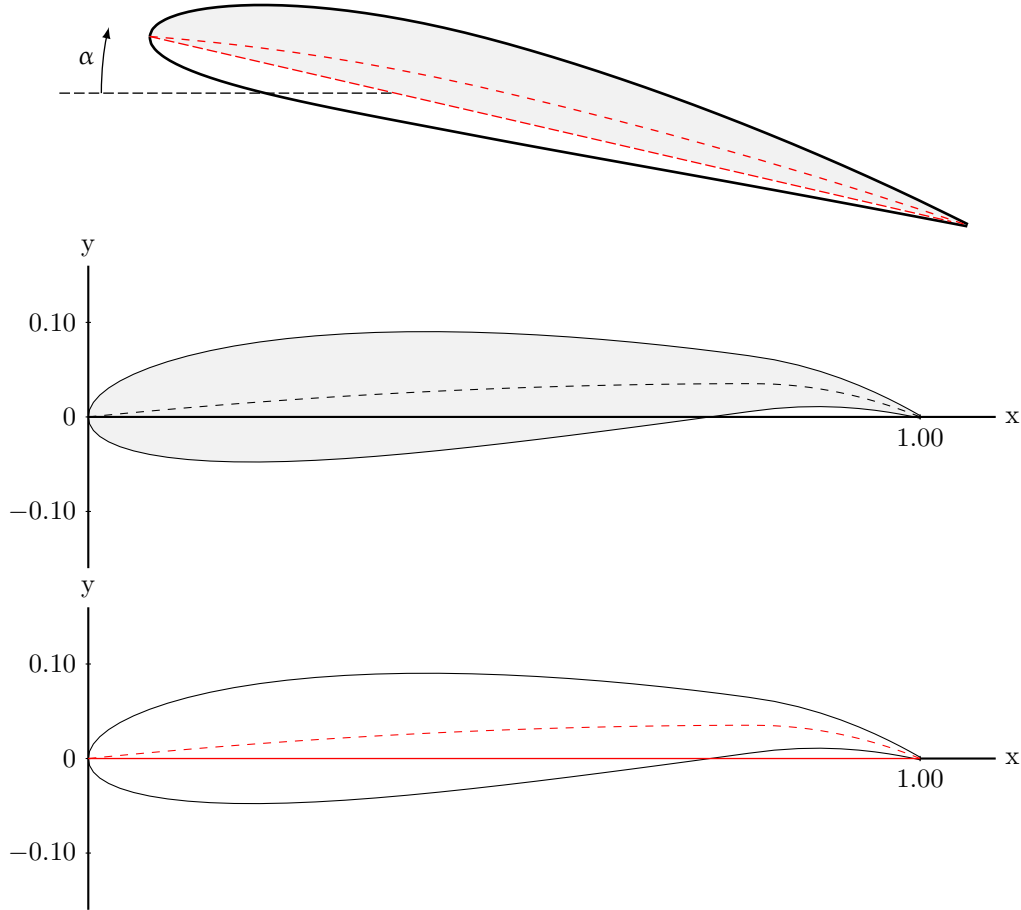


Abbildung 2.2.: Eine Vektorgrafik

Lorem ipsum dolor sit amet, consectetur adipiscing elit. Etiam lobortis facilisis sem. Nullam nec mi et neque pharetra sollicitudin. Praesent imperdiet mi nec ante. Donec ullamcorper, felis non sodales commodo, lectus velit ultrices augue, a dignissim nibh lectus placerat pede. Vivamus nunc nunc, molestie ut, ultricies vel, semper in, velit. Ut porttitor. Praesent in sapien. Lorem ipsum dolor sit amet, consectetur adipiscing elit. Duis fringilla tristique neque. Sed interdum libero ut metus. Pellentesque placerat. Nam rutrum augue a leo. Morbi sed elit sit amet ante lobortis sollicitudin. Praesent blandit blandit mauris. Praesent lectus tellus, aliquet aliquam, luctus a, egestas a, turpis. Mauris lacinia lorem sit amet ipsum. Nunc quis urna dictum turpis accumsan semper.

## **2.4. Flugzeug**

text [Mar]

## Kapitel 3.

# 3 Eigenes Verfahren

In diesem Kapitel soll das eigene Verfahren beschrieben werden. Es geht dabei nicht nur darum zu beschreiben was gemacht wurde, sondern ebenfalls darum zu begründen, weshalb bestimmte Design-Entscheidungen getroffen wurden.

### 3.1. LaTeX-Editoren

Ein guter Cross-Plattform (Windows/Linux/Mac) Latex-Editor mit englischer und deutscher Rechtschreibkorrektur ist z.B. TexStudio (<http://texstudio.sourceforge.net/>). Unter Windows verwende ich diesen Editor gerne zusammen mit dem Sumatra PDF Viewer (<http://blog.kowalczyk.info/software/sumatrapdf/free-pdf-reader.html>), da dieser ein automatisches Neuladen unterstützt.

### 3.2. Beispiel für eine Tabelle

In Tabelle 3.1 sind die verwendeten Bibliotheken aufgelistet.

Bibliothek	Version
CUDA SDK	2.3
CUDA Toolkit	2.3
OpenGL	3.2
GLUT	3.7
GLEW	1.5.1
CUDPP	1.1

Tabelle 3.1.: Die verwendeten Bibliotheken.

### 3.3. Formel in Latex und Konventionen zur Verwendung mathematischer Symbole

Mathematische Symbole können in Latex sehr leicht erzeugt werden. Beispiel für Symbole im Text: Gegeben sei ein Skalar  $a \in \mathbb{R}$ . Tabelle 3.2 liste einige Konventionen zur Verwendung mathematischer Symbole. Abgesetzte Formel lassen sich ebenfalls leicht erzeugen:

$$f(x) = x^2 + 3 \tag{3.1}$$

Außerdem kann leicht auf abgesetzte Formel verwiesen werden (siehe Gleichung 3.1). Für mehrere ausgerichtete Formeln bietet sich die Umgebung `eqnarray` an:

$$f(x) = x^2 + 3 \quad (3.2)$$

$$g(\theta) = \cos(2\theta) = \cos^2 \theta - \sin^2 \theta \quad (3.3)$$

$$h(x) = \int_0^\infty e^{-x} dx \quad (3.4)$$

Typ	Schriftart	Beispiele
Variablen (Skalare)	kursiv	$a, b, x, y$
Funktionen	aufrecht	$f, g(x), \max(x)$
Vektoren	fett, Elemente zeilenweise	$\mathbf{a}, \mathbf{b} = \begin{pmatrix} x \\ y \end{pmatrix} = (x, y)^\top$
Matrizen	Schreibmaschine	$\mathbf{A}, \mathbf{B} = \begin{bmatrix} a & b \\ c & d \end{bmatrix}$
Mengen	kalligrafisch	$\mathcal{A}, \{a, b\} \in \mathcal{B}$
Zahlenbereiche	doppelt gestrichen	$\mathbb{N}, \mathbb{Z}, \mathbb{R}^2, \mathbb{R}^3$

Tabelle 3.2.: Konventionen zur Verwendung mathematischer Symbole

### 3.4. Beispiel für eine Vektorgrafik

Wenn möglich sollten immer Vektorgrafiken verwendet werden. Rastergrafiken sollten nur dann eingesetzt werden, wenn die Original-Quelle ebenfalls eine Rastergrafik ist. Ein Cross-Plattform Editor zur Erstellung von Vektorgrafiken ist z.B. Inkscape: <http://inkscape.org/download/>. Nach der Erstellung in Inkscape sollte die Grafik zum einen zur späteren Weiterverarbeitung als SVG gespeichert werden. Zum anderen zwecks Import in Latex als PDF. Abbildung 3.1 zeigt ein Beispiel.

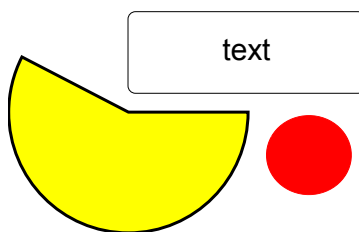


Abbildung 3.1.: Eine Vektorgrafik



### 3.5. Beispiel für eine Vektorgrafik mit mathematischen Symbolen

Um beliebigen Latex-Code in eine Vektorgrafik einzufügen (z.B. um mathematische Symbole zu setzen) kann in Inkscape beim Speichern der Datei als PDF die Option „Pdf+Latex: Text in PDF weglassen und Latex Datei erstellen“ angewählt werden (siehe Abb. 3.2)

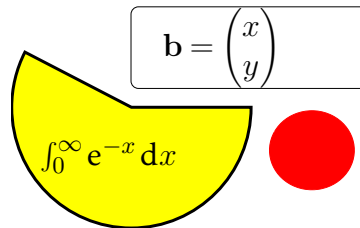


Abbildung 3.2.: Eine Vektorgrafik mit mathematischen Symbolen

### 3.6. Beispiel für eine Rastergrafik

Abbildung 3.3 zeigt, wie eine Rastergrafik eingebunden werden kann.

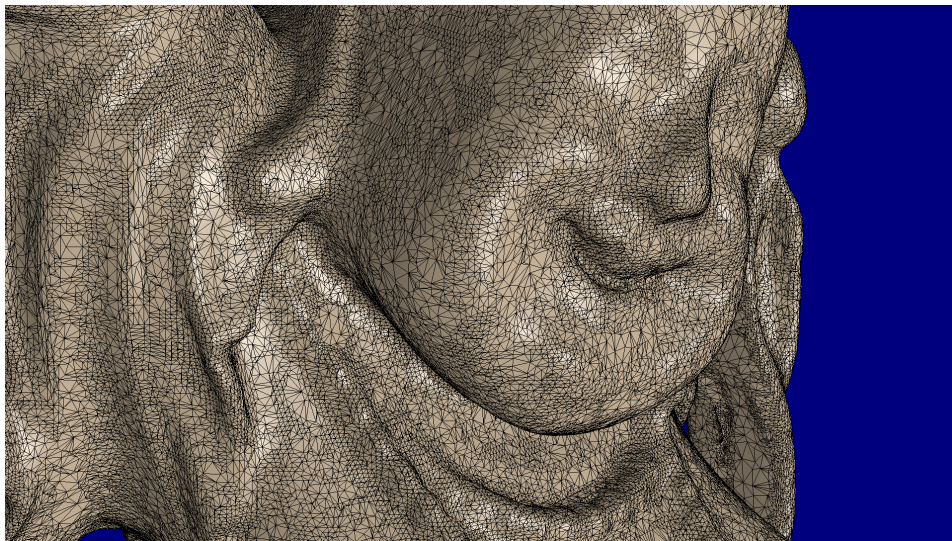


Abbildung 3.3.: Eine Rastergrafik

Bild- bzw. Tabellen-Beschriftungen sollten möglichst informativ sein. Aus der Beschreibung sollte die Bedeutung der Abbildung vollständig hervorgehen, so dass der Haupttext zum Verständnis nicht notwendigerweise gelesen werden muss.

### 3.7. Beispiel für die Darstellung von Algorithmen

Algorithmus 1 zeigt ...

*Phase 1: Reduktion*

```
for  $d := 0$  to  $\log_2 n - 1$  in parallel do
  for  $k := 0$  to  $n - 1$  by  $2^{d+1}$  in parallel do
     $x[k + 2^{d+1} - 1] := x[k + 2^d - 1] + x[k + 2^{d+1} - 1]$ 
```

*Phase 2: Propagation*

```
for  $d := \log_2 n$  to 0 in parallel do
  for  $k := 0$  to  $n - 1$  by  $2^{d+1}$  in parallel do
     $t := x[k + 2^d - 1]$ 
     $x[k + 2^d - 1] := x[k + 2^{d+1} - 1]$ 
     $x[k + 2^{d+1} - 1] := t + x[k + 2^{d+1} - 1]$ 
```

**Algorithm 1:** Pseudocode der zwei Phasen vom SCAN-Algorithmus [Har08].

### 3.8. Beispiel für die Darstellung von Quellcode-Auszügen

Listing 3.1 zeigt ...

```
1 void Adapt() {
2   cudaGLMapBufferObject( ... , vertVbo);
3   cudaGLMapBufferObject( ... , indVbo);
4   ...
5   cudaGLUnmapBufferObject( vertVbo);
6   cudaGLUnmapBufferObject( indVbo);
7 }
```

Listing 3.1: Pseudocode für die Kontrolle der VBOs.

# **4** **Kapitel 4.**

---

## **Ergebnisse und Evaluation**

In diesem Kapitel sollen die Ergebnisse dieser Diplomarbeit diskutiert werden.

## Kapitel 5.

---

# 5 Zusammenfassung und Ausblick

In diesem Kapitel sollen zunächst die erreichten Ziele diskutiert und abschließend ein Ausblick auf mögliche, weiterführende Arbeiten gegeben werden.

# Literaturverzeichnis

- [CEI01] CARL ERIKSON D. M., III W. V. B.: Hlods for faster display of large static and dynamic environments. *University of North Carolina at Chapel Hill* (2001).
- [Cha08] CHARPENTIER F.: *Nvidia Cuda: Das Ende der CPU?* Technical report, Tom's Hardware, Jun 2008. <http://www.tomshardware.com/de/CUDA-Nvidia-CPU-GPU,testberichte-240065.html> (20.08.2009).
- [Cla76] CLARK J. H.: Hierarchical geometric models for visible surface algorithms. *Communications of the ACM* 19, 10 (Oct 1976), 547–554. <http://design.osu.edu/carlson/history/PDFs/clark-vis-surface.pdf> (09.09.2009).
- [Dat13] DATABASE U. A. C.:, 2013. [http://www.ae.uiuc.edu/m-selig/ads/coord\\_database.html](http://www.ae.uiuc.edu/m-selig/ads/coord_database.html) (27.10.2014).
- [DFMP98] DE FLORIANI L., MAGILLO P., PUPPO E.: Efficient implementation of multi-triangulations. In *VIS '98: Proceedings of the conference on Visualization '98* (Los Alamitos, CA, USA, 1998), IEEE Computer Society Press, pp. 43–50.
- [Eck99] ECKERT M.: *Von-Neuman Architektur*. Technical report, TecChannel, sep 1999. [http://www.tecchannel.de/server/prozessoren/401364/so\\_funktioniert\\_ein\\_prozessor](http://www.tecchannel.de/server/prozessoren/401364/so_funktioniert_ein_prozessor) (19.08.2009).
- [Eis06] EISERLE M.: Progressive techniken in der computergrafik. *Universität Rostock* (2006). [http://vcg.informatik.uni-rostock.de/assets/publications/theses\\_sem/SA\\_Eiserle2006.pdf](http://vcg.informatik.uni-rostock.de/assets/publications/theses_sem/SA_Eiserle2006.pdf) (15.09.2009).
- [ESV99] EL-SANA J., VARSHNEY A.: Generalized view-dependent simplification. *Computer Graphics Forum* 18, 3 (1999), 83–94.
- [Fos95] FOSTER I.: *Designing and Building Parallel Programs*. Addison Wesley Pub Co Inc, Reading, MA, USA, 1995.
- [Har08] HARRIS M.: *Parallel Prefix Sum (Scan) with CUDA*. Programming guide, NVIDIA, 2008.
- [Hop96] HOPPE H.: Progressive meshes. In *SIGGRAPH '96: Proceedings of the 23rd annual conference on Computer graphics and interactive techniques* (New York, NY, USA, 1996), ACM, pp. 99–108.

- [Hop97] HOPPE H.: View-dependent refinement of progressive meshes. In *SIGGRAPH '97: Proceedings of the 24th annual conference on Computer graphics and interactive techniques* (New York, NY, USA, 1997), ACM Press/Addison-Wesley Publishing Co., pp. 189–198.
- [Hop98] HOPPE H.: Efficient implementation of progressive meshes. *Computers & Graphics* 22, 1 (1998), 27–36.
- [HSH09] HU L., SANDER P. V., HOPPE H.: Parallel view-dependent refinement of progressive meshes. In *I3D '09: Proceedings of the 2009 symposium on Interactive 3D graphics and games* (New York, NY, USA, 2009), ACM, pp. 169–176.
- [JNS08] JOHN NICKÖLLS IAN BUCK M. G., SKADRON K.: *Scalable Parallel Programming*. Programming guide, UNIVERSITY OF VIRGINIA, 2008.
- [Lit08] LITTSCHWAGER T.: *Neue Grafik-Generation: Alle Details*. Technical report, Chip, Sep 2008. [http://www.chip.de/artikel/Neue-Grafik-Generation-Alle-Details\\_32708718.html](http://www.chip.de/artikel/Neue-Grafik-Generation-Alle-Details_32708718.html) (19.08.2009).
- [Lue01] LUEBKE D. P.: A developer's survey of polygonal simplification algorithms. *IEEE Computer Graphics and Applications* 21, 3 (May/Jun 2001), 24–35. <http://www.cs.virginia.edu/~luebke/publications/pdf/cg+a.2001.pdf> (11.09.2009).
- [Mar] MARZOCCA P.: *The NACA airfoil series*. Technical report, Clarkson University, Department of Mechanical and Aeronautical Engineering. <http://people.clarkson.edu/~pmarzocc/AE429/The%20NACA%20airfoil%20series.pdf> (27.10.2014).
- [MB00] MROHS BERND C. R.: Progressive meshes - eine einföhrung. *test* (Jul 2000). <http://www.mrohs.com/publications/Bernd%20Mrohs,%20Christian%20Raack%20-%20Progressive%20Meshes.pdf> (29.07.09).
- [MGK03] MICHAEL GUTHE P. B., KLEIN R.: Efficient view-dependent out-of-core visualization. *University of Bonn, Institute of Computer Science II* (2003). <http://www.uni-marburg.de/fb12/informatik/homepages/guthe/files/guthe-2003-efficient> (12.09.2009).
- [Nah02] NAHMIAS J.-D.: Real-time massive model rendering. *University College London* (Sep 2002). [http://www.cs.ucl.ac.uk/research/equator/papers/Documents2002/Jean-Daniel\\_Nahmias/Massive\\_Model\\_Rendering.htm](http://www.cs.ucl.ac.uk/research/equator/papers/Documents2002/Jean-Daniel_Nahmias/Massive_Model_Rendering.htm) (29.07.09).
- [NVI07] NVIDIA: *NVIDIA CUDA Compute Unified Device Architecture*. Programming Guide Version 1.0, NVIDIA Corporation, Santa Clara, CA, USA, 2007.

- [NVI08] NVIDIA: *NVIDIA GeForce GTX 295*, 2008. [http://www.nvidia.de/object/product\\_geforce\\_gtx\\_295\\_de.html](http://www.nvidia.de/object/product_geforce_gtx_295_de.html) (02.10.2009).
- [NVI09] NVIDIA: *OpenCL Programming Guide for the CUDA Architecture*. Programming Guide Version 2.3, NVIDIA Corporation, Santa Clara, CA, USA, 2009.
- [OLG\*05] OWENS J. D., LUEBKE D., GOVINDARAJU N., HARRIS M., KRÜGER J., LEFOHN A. E., PURCELL T. J.: A survey of general-purpose computation on graphics hardware. In *Eurographics 2005, State of the Art Reports* (Aug 2005), pp. 21–51.
- [Paj01] PAJAROLA R.: Fastmesh: Efficient view-dependent meshing. *Computer Graphics and Applications, Pacific Conference on 0* (2001), 0022.
- [PD04] PAJAROLA R., DECORO C.: Efficient implementation of real-time view-dependent multiresolution meshing. *IEEE Transactions on Visualization and Computer Graphics* 10, 3 (2004), 353–368.
- [Riß99] RISSKA V.: *Test: Intel Core i7 920, 940 und 965 Extreme Edition*. Technical report, Computerbase, Sep 1999. [http://www.computerbase.de/artikel/hardware/prozessoren/2008/test\\_intel\\_core\\_i7\\_920\\_940\\_965\\_extreme\\_edition/](http://www.computerbase.de/artikel/hardware/prozessoren/2008/test_intel_core_i7_920_940_965_extreme_edition/) (20.08.2009).
- [Tro01] TROGER C.: Levels of detail. *Institute of Computer Graphics and Algorithms Vienna University of Technology* (2001). [http://www.cg.tuwien.ac.at/courses/Seminar/SS2001/lod/troger\\_paper.pdf](http://www.cg.tuwien.ac.at/courses/Seminar/SS2001/lod/troger_paper.pdf) (09.09.2009).
- [WIK] WIKIPEDIA: *Octree*. <http://de.wikipedia.org/wiki/Octree> (29.07.2009).





# Abkürzungsverzeichnis

<b>ALU</b>	Arithmetic Logic Unit
<b>BTF</b>	Bidirektionalen Textur Funktion
<b>CPU</b>	Central Processing Unit
<b>CU</b>	Control Unit
<b>CUDA</b>	Compute Unified Device Architecture
<b>FLOPs</b>	Floating Point Operations Per Second
<b>FPU</b>	Floating Point Unit
<b>GPGPU</b>	General Purpose Computation on Graphics Processing Unit
<b>GPU</b>	Graphics Processing Unit
<b>HLOD</b>	Hierarchische Level of Detail
<b>IFS</b>	Indexed-Face-Set
<b>LOD</b>	Level of Detail
<b>MIMD</b>	Multiple Instruction Multiple Data
<b>OpenCL</b>	Open Computing Language
<b>OpenGL</b>	Open Graphics Library
<b>PCAM</b>	Partitionierung Kommunikation Agglomeration Mapping
<b>PM</b>	Progressive Meshes
<b>SFU</b>	Spezial Funktion Units
<b>SIMD</b>	Single Instruction Multiple Data
<b>SIMT</b>	Single Instruction Multiple Threads
<b>SLI</b>	Scalable Link Interface
<b>SP</b>	Streaming-Prozessoren
<b>SM</b>	Streaming-Multiprozessoren
<b>TPC</b>	Textur Prozessor Clustern
<b>VBO</b>	Vertex Buffer Object



# Abbildungsverzeichnis

4figure.caption.6

2.2. Eine Vektorgrafik . . . . .	5
3.1. Eine Vektorgrafik . . . . .	8
3.2. Eine Vektorgrafik mit mathematischen Symbolen . . . . .	9
3.3. Eine Rastergrafik . . . . .	9

# Tabellenverzeichnis

3.1. Die verwendeten Bibliotheken. . . . .	7
3.2. Konventionen zur Verwendung mathematischer Symbole . . . . .	8



# List of Algorithms

1. Pseudocode der zwei Phasen vom SCAN-Algorithmus [Har08]. . . . . 10



# Listings

3.1. Pseudocode für die Kontrolle der VBOs. . . . .	10
---	----





# **A** **Anhang**

---

Anhang A.

## **Thema 1**

Beispiel für einen Anhang

## **Thema 2**

# Danksagung

An erster Stelle möchte ich mich bei Herrn Prof. Dr. B. Freisleben für die Möglichkeit bedanken, diese Arbeit in seiner Arbeitsgruppe durchzuführen. Besonders möchte ich mich bei Pablo Graubner für die investierte Zeit und die gute Betreuung, sowohl auf menschlicher als auch auf fachlicher Ebene, die er mir zu teil werden ließ herzlich bedanken. Danken möchte ich auch meinen Freunden, die immer an meiner Seite stehen und mir bei der Arbeit mit Verständnis und guten Worten geholfen haben. Der größte Dank gilt allerdings meiner Familie, die mich in meiner Ausbildung sowohl in der Schule, als auch im Studium immer tatkräftig unterstützt hat und auf die ich mich immer verlassen kann. Ohne sie wäre diese Arbeit sicher nicht zustande gekommen.